

## مقارنة القساوة بين الراتنج الإكريلي التقليدي والراتنج الإكريلي المنحوت بطريقة الـ CAD/CAM "دراسة مخبرية"

عمار شلار<sup>1\*</sup> مهند السعدي<sup>2</sup>

<sup>1\*</sup> طالب ماجستير في قسم التعويضات المتحركة - كلية طب الاسنان - جامعة دمشق.

<sup>2</sup> استاذ في قسم التعويضات المتحركة - كلية طب الاسنان - جامعة دمشق.

### المؤلف:

تعد القساوة واحدة من أهم الخصائص الميكانيكية التي طورت من قبل الـ ISO ، ADA ، (American Dental Association) والعديد من الدراسات (International Organization for Standardization) وأشارت الى تشكل الفجوات أو الخدوش على السطح الخارجي للأجهزة الإكريلية نتيجة لاستعمال المريض للجهاز كتنظيف الجهاز أو المضغ والتي تنتشر ضمن هذه الأجهزة مؤدية إلى حدوث الكسر ضمن الأجهزة ومن هنا جاءت أهمية هذه الدراسة وذلك لمقارنة القساوة والتي تعرف بمقاومة المود لتشكل الخدوش وذلك عند احتكاكه مع جسم آخر.

الهدف من البحث: يهدف الى المقارنة بين الراتنج الإكريلي التقليدي والراتنج المنحوت بطريقة الـ CAD/CAM نظام التصميم بمساعدة الحاسوب (computer-aid design) والتصنيع بمساعدة الحاسوب (computer-aid manufacture) من حيث القساوة.

**المواد والطريق:** تألفت عينة البحث من مجموعتين متساويتين من الراتنج الإكريلي التقليدي والراتنج المنحوت بطريقة الـ CAD/CAM ، اجري اختبار القساوة فيكرز بواسطة جهاز اختبار القساوة (Galileo,pioneer,LTG,German) تم تطبيق القوة بواسطة هرم ماسي يقوه 300 نيوتن لمدة 15 ثانية والذي يظهر على العينة بشكل معين ، وبعد الحصول على النتائج تم تحليلها باستخدام اختبار T ستيفوندت.

**النتائج:** أظهرت النتائج أن ليس هناك فرق ذو دلالة إحصائية بين الراتنج الإكريلي التقليدي بمتوسط حسابي (31.9+3.2) والراتنج المنحوت بطريقة الـ CAD/CAM بمتوسط حسابي (4.47+34.01) وذلك عند مستوى دلالة (0.05) حيث كانت قيمة ال P-Value (0.25) أكبر من مستوى الدلالة .

**الاستنتاجات:** لا يوجد فرق بين قساوة الراتنج الإكريلي التقليدي والراتنج المنحوت بطريقة الـ CAD/CAM.

**الكلمات المفتاحية:** الراتنج الإكريلي التقليدي ، الراتنج المنحوت بطريقة الـ CAD/CAM ، القساوة

تاريخ الإيداع: 2022/7/24

تاريخ القبول: 2022/5/19

حقوق النشر: جامعة دمشق - سوريا، يحتفظ المؤلفون بحقوق النشر بموجب

ISSN: 2789-7214 (online)

<http://journal.damascusuniversity.edu.sy>



## Comparison the Hardness of Conventional and CAD/CAM Denture Baseb Acrylic Resins "In Vitro Study"

Ammar Shallar<sup>1\*</sup>

Mohanad Al sadee<sup>2</sup>

1\* Master's student in the Department of Prosthodontics, Faculty of Dentistry, Damascus University.

2 Professor in the Department of Animated Prosthodontics, Faculty of Dentistry, Damascus University.

### Abstract:

**Introduction:** The hardness one of the most important mechanical properties which developed by ADA, ISO (American Dental Association, International Organization for Standardization)

Many studies refers that small flaws or scratches on the surface of PMMA denture can generate crack propagation, leading to eventual to fracture, therefore It is important to compare hardness Which defend as the resistance of material to form flaws or scratches on the surface of material.

**Material and Methods:** Twenty specimens were used for this study divided into two equal groups:

The first one: 10 specimens made from conventional acrylic resin.

The other one: 10 specimens made from milled cured acrylic resin.

The test of the Vickers Hardness (VH) has done by use (Galileo,pioneer,LTF,German) ,VH determined with application 300g for 15 S ,which appear on the surface of the sample on particular shape,

Moreover, this measurement is repeated three time on each sample then we took the average and after we got the result, we analyze data by use (t) independent student test.

**Result:** The hardness test showed that there was no significant different in hardness between milled cured CAD\CAM and conventional acrylic resin with mean (34,01+-4.47,31.9+-3.21) cosequently.

**Conclusion:**

There are no deference between conventional acrylic resin and milled cured acylic resin.

**Key words:** Conventional acrylic resin, milled cured acrylic resin, Hardness



**المقدمة:**

2. كل البيانات المجموعة من صور وتضييد أسنان يمكن حفظها وبالتالي يمكن استخدامها من أجل إنجاز تعويض جديد وذلك في حال ضاع تعويض المريض.
3. الانقصاص من الوقت اللازم لإنجاز التعويض مخبرياً وزادت من دقة إنجازه. (Janeva *et al.*, 2018).
- وله أيضاً العديد من المساوى:
1. التجربة السريرية هي غير موجودة في معظم أنظمة الـ *CAD/CAM*، لذلك من الصعب الحصول على تضييد متوازن.
  2. هناك العديد من أنظمة الـ *CAD/CAM* وعلى الطبيب أن يقوم بفهم جيد لهذه الأنظمة من أجل اختيار النظام المناسب.
  3. كما أن اختصار المراحل السريرية لصناعة التعويض يمكن أن ينتج عنه مشاكل تجميلية ولفظية. (Baba, 2016).
- وتدعي الشركات المصنعة لهذه الكتل الإكريلية أن لهذا الراتنج الجديد قساوةً أفضل وذلك بالمقارنة مع الراتنج التقليدي. ومن هنا جاءت أهمية هذه الدراسة وذلك للمقارنة بين الراتنج الإكريلي التقليدي والراتنج المصنوع بطريقة الـ *CAD/CAM*.

**الهدف من البحث:**

مقارنة القساوة Hardness بين الراتنج الإكريلي التقليدي والراتنج المنحوت بطريقة الـ *CAD/CAM*.

**المواد وطرق:**

تألفت عينة البحث من 20 نموذج على شكل متوازي مستطيلات بأبعاد (2.5\*10\*30) ملم موزعة على مجموعتين متساويتين هما مجموعة الراتنج الإكريلي المنحوت بطريقة الـ *CAD/CAM* ومجموعة من الراتنج الإكريلي التقليدي.

تستعمل الأجهزة المتحركة بشكل واسع للتعويض عن الأسنان المفقودة (Jancar *et al.*, 2009)، ومنذ عام 1936 أصبح الراتنج الإكريلي أكثر مادة مستخدمة لتصنيع هذه الأجهزة لما له من مزايا كالسعر المنخفض والوزن الخفيف والجمالية وسهولة الإنهاه والتلميع (Alhareb *et al.*, 2017) إلا أن الراتنج الإكريلي ضعيف وقصف وهناك العديد من الدراسات وأشارت إلى حدوث خدوش وفجوات ضمن الأجهزة الإكريلية نتيجة لاستعمال المريض للجهاز كتنظيف الجهاز أو أثناء المضغ والتي تنتشر ضمن هذه الأجهزة مؤدية إلى حدوث الكسر ضمن الأجهزة (Alhotan *et al.*, 2021) ومن هنا جاءت أهمية هذه الدراسة وذلك لمقارنة القساوة والتي تعرف بمقاومة المواد لتشكل فجوات أو خدوش وذلك عند احتكاكه مع جسم آخر ، وتعد القساوة من أهم الخواص الميكانيكية والتي طورت من قبل الجمعية الأمريكية لطب الأسنان (ADA) المنظمة الدولية للمعايير (Kenneth J. Anusavice, 2012,63)(ISO). على الرغم من استعمال الكثير من المواد لقوية قواعد الجهاز مثل إضافة المعدن والألياف المختلفة (Asar *et al.*, 2013,244) إلا أنها لم تؤدي إلى تغيير أفضل بكثير

كما استعملت الأفراص الإكريلية المنحوتة بطريقة الـ *CAD/CAM* وهو إكريل مصلب مسبقاً في صناعة الأجهزة المتحركة منذ عام 1990 (Kawahata *et al.*, 1997, 1990) وإن استعمال أنظمة الـ *CAD/CAM* في مجال التعويضات المتحركة له العديد من المحسن:

1. التقليل من عدد زيارات المريض وهذا مهم وخاصة للمرضى كبار السن، حيث يحتاج الجهاز المتحرك من خمس إلى ست جلسات من أجل إنجازه بالطريقة التقليدية بينما عند استعمال أنظمة الـ *CAD/CAM* يحتاج إلى جلستين فقط.



الشكل رقم (1) مرحلة تحضير القالب الجبسي

بعد تصلب الجبس  $\mathcal{U}$ ريل بالفازلين لسهولة فصل قسمي البوتفقة، وُضعت النماذج الشمعية فوق اللوح الزجاجي، وسُكّب الجبس الممزوج باستخدام المهازن الكهربائي في القسم العلوي من البوتفقة حتى امتلأها، ثم أغلقت البوتفقة، وتركت حتى تمام تصلب الجبس.

وُضعت البوتفقة بعدها في الماء المغلي لمدة ٥ دقائق لصهر الشمع، ثم فتحت، ونظفت من جميع البقايا الشمعية بالماء الساخن والصابون بواسطة الفرشاة كما في الشكل (2)

#### ❖ طريقة تحضير عينات الراتنج الإكريلي التقليدي:

تم الحصول على عينات الراتنج الإكريلي التقليدي من خلال نسخ عينات الراتنج الإكريلي المنحوت بطريقة CAD/CAM، حيث تُتّبَع العينات المنحوتة بطريقة CAD/CAM على لوح زجاجي بلاصق ثم أخذت طبعة بالمطاط القاسي والرخو وبمرحلة واحدة مع تأمين مجرى ضمن قالب السليكون للسماح بالشمع بالزائد بالخروج وحصلنا بذلك على نماذج من الشمع لها شكل مماثل لعينات الراتنج الإكريلي المنحوت بطريقة CAD/CAM

#### 1. مرحلة صب الجبس:

مُلئ القسم السفلي من البوتفقة بالجبس الأبيض، ووضع على سطحه لوح زجاجي يتناسب من حيث شكله وأبعاده مع شكل البوتفقة المستعملة وأبعادها.



الشكل رقم (2) مرحلة صب الجبس على المهازن الالي وإزالة الزوائد الشمعية بواسطة المياه الساخنة

المزيج لمدة عشر دقائق حتى يصل إلى المرحلة العجينة، ثم

يوضع داخل القالب المجهز بعد عزله بواسطة السلكيات.

وُضع القالب مع المريط في جهاز التصليب الذي ضبط مسبقاً وفقاً لتعليمات الشركة المصنعة، إذ توضع البوتفقة في الماء بدرجة حرارة 70 درجة مئوية لمدة ساعة كاملة، ثم رفعت درجة

#### 2. مرحلة طبخ الراتنج الإكريلي التقليدي

خُصِّر الراتنج الذي هو عبارة عن مسحوق وسائل (22 غ مسحوق لكل 10 مل سائل) وفق تعليمات الشركة المصنعة، إذ يضاف المسحوق إلى السائل ببطء، ثم يمزجان بشكل جيداً لمدة 60 ثانية باستعمال سباتول معدني، وبعد الانتهاء سوف يغلق وعاء المزج الزجاجي بلوح زجاجي، ويترك

الحرارة تدريجياً إلى 100 درجة مئوية، وترك البوقة في هذه الدرجة مدة 30 دقيقة. ثُرِكت البوقة لتبرد لمدة 24 ساعة في ماء جهاز التصليب، ومن ثم فُتحت وأُخرجت النماذج وجرى شذب حوافها وسطحها المواجه للجنس فقط.



الشكل رقم (3) عينات الراتنج الإكريلي التقليدي بعد الطبع

#### ❖ طريقة تحضير الراتنج المنحوت بطريقة ال طائق إجراء الاختبار:

تم غمر العينات في الماء المقطر لمدة 7 أيام بدرجة حرارة 37 درجة مئوية قبل إجراء الاختبار.

إجراء اختبار القساوة فيكرز بواسطة جهاز (Galileo,pioneer,LTG,German) الموجود بكلية الهندسة الميكانيكية بجامعة دمشق حيث يتم تطبيق القوة بواسطة هرم ماسي يقوه 300نيوتون لمدة 15 ثانية والذي يظهر على العينة بشكل معين كما في الشكل رقم (20) ثم يتم حساب القساوة فيكرز من العلاقة:

$$Hv=1.8544 F/D^2$$

F: هي مقدار القوة المطبقة بالنيوتون.

D: هي القطر الوسطي للمعين المتشكل على سطح العينة. حيث تم اختبار قساوة فيكرز ثلاث مرات لكل عينة عند المنتصف ومن الطرف اليمين وطرف اليسار ثم أخذ الوسطي لهذه القيم.

تم تصميم العينات على الحاسب بالأبعاد المذكورة مسبقاً عن طريق برنامج خاص 2016 Biotech CAM ثم تم خرطها باستخدام جهاز DGA (DWX-51-ROLAND CAD/CAM).

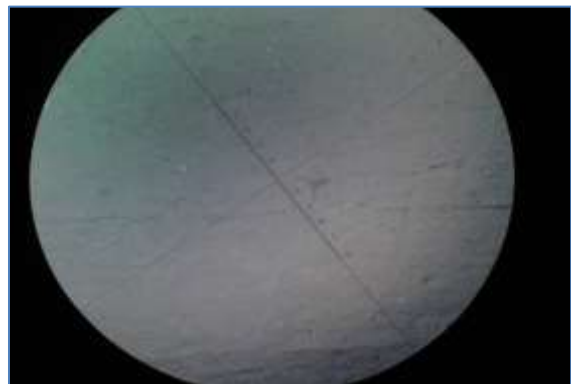


الشكل رقم (4) عينات قساوة الراتنج الإكريلي التقليدي



الشكل رقم (5) عينات قساوة الراتنج الإكريلي المنحوت بطريقة ال CAD/CAM

24.5	38.3	1.01	3.21	31.9	10	الرانتج الإكريلي التقليدي
------	------	------	------	------	----	---------------------------



#### ❖ التحقق من فرضية الدراسة:

هل يوجد فرق ذو دلالة إحصائية بين قساوة الرانتج الإكريلي التقليدي والرانتج الإكريلي المنحوت بطريقة ال CAD/CAM ؟  
للتتحقق من هذه الفرضية تم إجراء اختبار (T) للعينات المستقلة Independent Samples T-Test وبعد التأكيد من فرضيات الاختبار وشروطه كانت النتائج وفق الآتي:

جدول رقم (2) نتائج اختبار (t) للفرق بين متوسطات القساوة لكل من نوعي الرانتج الإكريلي.

القيمة الإحصائية	مستوى الدلالة	القيمة الاحصائية	P(VALUE)	الفرق بين المتوسطين	نسبة (%)	عدد	
غير إحصائيا	0.05	0.25	2.5	1.17	10	الرانتج الإكريلي التقليدي	
دال					10	الرانتج الإكريلي المنحوت بطريقة CAD/CAM	

يتضح من بيانات الجدول رقم (1) و (2) أن المتوسط الحسابي لقساوة الرانتج المنحوت بطريقة ال CAD/CAM هو (34.01) وهو أعلى من متوسط الرانتج التقليدي (31.9) بانحراف معياري (3.21) هو أعلى من متوسط الرانتج التقليدي (3.21) بانحراف معياري (3.21).

الشكل رقم (5) المقطع المتشكل على سطح العينة بعد تطبيق القوة وذلك بتكبير 500 ضعف

#### النتائج:

تم تحديد حجم العينة وذلك باستخدام برنامج G.Power لـ. أظهرت النتائج أن المتوسط الحسابي لقساوة الرانتج المنحوت بطريقة ال CAD/CAM أعلى من المتوسط الحسابي لقساوة الرانتج الإكريلي التقليدي وكانت النتائج وفق الآتي:

جدول رقم (1) يبين المتوسط الحسابي والانحراف المعياري والقيمة الأعلى والقيمة الأدنى لقساوة الرانتج الإكريلي التقليدي والرانتج الإكريلي المنحوت بطريقة ال CAD/CAM مقدرة ب HV

القيمة المطلوبة	على قيمة	الانحراف المعياري	القيمة المعايرة	المتوسط الحسابي	عدد	
28.7	39.2	1.41	4.47	34.01	10	الرانتج الإكريلي المنحوت بطريقة CAD/CAM

كما جاءت نتائج اختبار (T) (1.17) بقيمة احتمالية (0.25) كما جرى غمر العينات بالماء لمدة 7 أيام بدرجة حرارة 37 درجة مئوية من أجل أن تكون قياساتنا مشابهة للوضع السريري للأجهزة المتحركة. إذ أنه عند غمر العينات بالماء فإنها تمتص القليل من الماء وهذا الماء الممتص من قبل العينات الإكريلية له تأثير هام على الخواص الميكانيكية للإكريل وذلك حسب الدراسات (Al-Dwairi *et al.*, 2020).

لقد اختبر القساوة بطريقة فيكرز *Vickers* حيث تم تطبيق قوة مقدارها 300 نيوتن لمدة 15 ثانية وقد اتفقنا بذلك مع الدراسة التي

قام بها (Gad *et al.*, 2018) (Alhotan *et al.*, 2021) (Alhareb *et al.*, 2017) واختلفنا مع الدراسة التي قام بها كل من (Ayman, 2017) حيث طبقت قوة 50 نيوتن لمدة 15 ثانية و مع الدراسة التي قام بها (Ayaz *et al.*, 2014, 230) التي طبقة قوة 47 لمدة 30 ثانية مقداره

على أية الحال أن مقدار القوة المطبقة هو غير هام وذلك لأنه يتم حساب مقدار القساوة من العلاقة

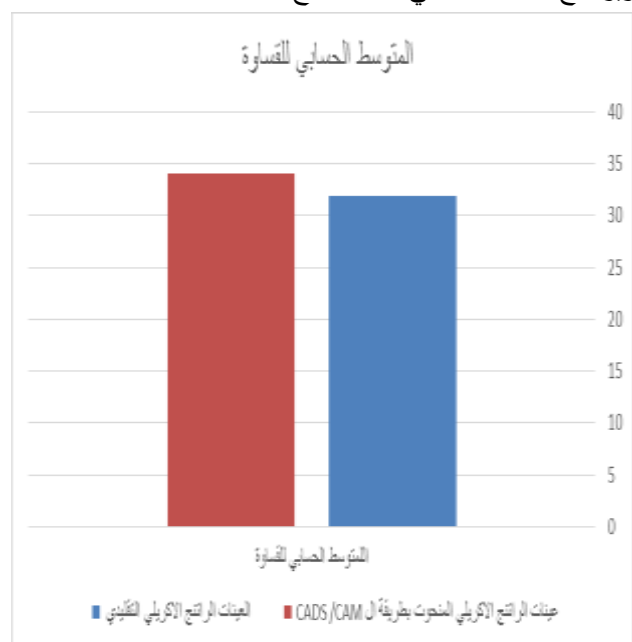
$$Hv = 1,8544 F/D^2$$

ومن هذه العلاقة نلاحظ أن هناك تناسباً عكسيّاً بين القوة المطبقة (F) وقطر المعين (D) المتشكل على سطح العينة بعد تطبيق القوة وبالتالي مقدار القوة المطبقة ومدتها هو غير هام فعند زيادة القوة ومدتها سيكون مساحة المعين أكبر وبالتالي لن يتغير مقدار القساوة

كما اختلفت هذه الدراسة مع دراسة (Prpić *et al.*, 2020,) التي اختبرت قساوة برببيل ولكننا اختبرنا قساوة فيكرز لأنها تناسب المواد الراتجية أما برببيل فإنها تستخدم أكثر للمواد المعدنية.

تم تطبيق اختبار *T* ستودنت لعينات المستقلة لدراسة فرق المتوسطات للقساوة بين الراتج الإكريلي التقليدي والراتج المنحوت بطريقة ال *CAD/CAM*، وقد أظهرت النتائج أن المتوسط الحسابي لقساوة الراتج المنحوت بطريقة ال *CAD/CAM* هي أعلى من الراتج التقليدي ولكن بفرق غير

أكبر من مستوى الدلالة (0.05) وعليه نقر أن لا يوجد فرق ذو دلالة إحصائية عند مستوى دلالة (0.05) بين متوسط مقاومة القساوة للراتج الإكريلي المنحوت بطريقة ال *CAD/CAM* و مقاومة القساوة للراتج الإكريلي التقليدي، وبوضوح المخطط الآتي هذه النتائج:



المخطط (1) يعبر عن القساوة لكل من نوعي الراتج الإكريلي.

#### المناقشة:

تعبر القساوة عن المقاومة السطحية للمادة لتشكل الفجوات أو الخدوش على سطحها عند الاحتكاك مع مادة أخرى مثل تنظيف الجهاز.

ثمة صعوبة في قياس الخواص الميكانيكية سريرياً لذلك تم إجراء الدراسة مخبرياً كما تم اختيار ثمانية العينات بقياس (2.5) ملم ضمن المعدل الطبيعي لثمانة قاعدة الأجهزة السنية التقليدية (Kanie *et al.*, 2000).

INterdent عند الراتج الإكريلي CAD/CAM من شركة (Polident CAD/CAM Disk, CC) أعلى من الراتج الإكريلي التقليدي وبهذا اتفق مع دراسة التي أجريناها ولكن الراتج الإكريلي المنحوت بطريقة ال CAD/CAM من شركة IvoBase CAD (IvoBase CAD) كان ذا قيمة القساوة أقل من الأنواع الثلاثة للراتج الإكريلي التقليدي.

لا تعد فكرة مقارنة بين نوعي الإكريل المستعمل في هذا البحث جديدة، ولكن الدراسات التي تناولت الهدف ليست كثيرة. على الرغم من أن نتائج هذا البحث متسقة مع الدراسات السابقة والتقنيات المستخدمة لغرض هذا الدراسة تعتبر قياسية وتم استخدامها في دراسات سابقة لكن هذه الدراسة المخبرية لديها بعض القيود لأنه بقدر ما تكون ظروف الدراسة المخبرية ممكناً تجريبياً لتقليد ظروف البيئة الفموية إلا أنه لا يمكن أن تحاكيها بدقة، على سبيل المثال عندما قمنا بغمر العينات بدرجة حرارة ثابتة 37 درجة مئوية لمحاكي درجة حرارة الفم، لكن من الجدير بالذكر أنه يجب ملاحظة وجود تقلبات في هذه الدرجة في أوقات الوجبات في الحالة السريرية.

#### الاستنتاجات:

ضمن حدود هذه الدراسة يمكننا أن نستنتج: ليس هناك فرق ذو دلالة إحصائية بين الراتج الإكريلي التقليدي والراتج المنحوت بطريقة ال CAD/CAM من حيث القساوة.

dal احصائياً واتفقت هذه الدراسة بذلك مع دراسة (Pacquet et al., 2019)

كما اختلفت هذه الدراسة مع الدراسة (Ayman, 2017) التي أفادت أن هناك فرقاً دالاً إحصائياً بين الراتج الإكريلي التقليدي والراتج المنحوت بطريقة ال CAD/CAM الذي كان ذا قيمة قساوة أعلى ربما يرجع السبب إلى الاختلاف في مدة الغمر بالماء ففي هذه دراسة جرى عمر العينات بالماء لمدة 7 أيام وبدرجة حرارة 37 درجة مئوية أما بدراسة Ayman فقد جرى عمر العينات لمدة 48 ساعة بحسب الدراسة التي قام بها (Wiedemair and Wolfgang Huck, 2017) والتي درس فيها امتصاص الماء وتأثيرها على الخواص الميكانيكية لنوتين من الأفراد الراتج المنحوت بطريقة ال CAD/CAM فقد لاحظوا أن هناك اختلافاً في كمية الماء الممتصة باختلاف الشركة المصنعة لهذا الراتج وقد تراوحت بالمجموعة الأولى (92,45-52,81) ملي غرام والمجموعة الثانية (206,4-141,11) ملي غرام يمكن أن يكون امتصاص الماء قد أثر في قساوة للراتج المنحوت بطريقة ال CAD/CAM لذلك لم يظهر الفرق بين مجموعات المدروسة أو قد يكون نتيجة لاختلاف المادة المختبرة في الدراسة التي قام بها (Prpić et al., 2020,527) الذين اختبروا القساوة لعدة شركات مصنعة للراتج الإكريلي المنحوت بطريقة ال CAD/CAM IvoBaseCAD, Interdent CC and polident (ProBase) والراتج الإكريلي التقليدي (Hot, Paldon65 and Interacry Hot

التمويل: هذا البحث ممول من جامعة دمشق وفق رقم التمويل (501100020595).

**References:**

1. AL-DWAIRI, Z. N., TAHBOUB, K. Y., BABA, N. Z. & GOODACRE, C. J. 2020. A comparison of the flexural and impact strengths and flexural modulus of CAD/CAM and conventional heat-cured polymethyl methacrylate (PMMA). *Journal of Prosthodontics*, 29, 341-349.
2. ALHAREB, A. O., AKIL, H. M. & AHMAD, Z. A. 2017. Impact strength, fracture toughness and hardness improvement of PMMA denture base through addition of nitrile rubber/ceramic fillers. *The Saudi Journal for Dental Research*, 8, 26-34.
3. ALHOTAN, A., YATES, J., ZIDAN, S., HAIDER, J. & SILIKAS, N. 2021. Flexural Strength and Hardness of Filler-Reinforced PMMA Targeted for Denture Base Application. *Materials*, 14, 2659.
4. ASAR, N. V., ALBAYRAK, H., KORKMAZ, T. & TURKYILMAZ, I. 2013. Influence of various metal oxides on mechanical and physical properties of heat-cured polymethyl methacrylate denture base resins. *The journal of advanced prosthodontics*, 5, 241.
5. AYAZ, E. A., DURKAN, R., KOROGLU, A. & BAGIS, B. 2014. Comparative effect of different polymerization techniques on residual monomer and hardness properties of PMMA-based denture resins. *Journal of applied biomaterials & functional materials*, 12, 228-233.
6. AYMAN, A.-D. 2017. The residual monomer content and mechanical properties of CAD\CAM resins used in the fabrication of complete dentures as compared to heat cured resins. *Electronic physician*, 9, 4766.
7. BABA, N. Z. 2016. Materials and processes for CAD/CAM complete denture fabrication. *Current Oral Health Reports*, 3, 203-208.
8. GAD, M. M., RAHOMA, A. & AL-THOBITY, A .M. 2018. Effect of polymerization technique and glass fiber addition on the surface roughness and hardness of PMMA denture base material. *Dental materials journal*, 37, 746-753.
9. JANCAR, J., HYNSTOVA, K. & PAVELKA, V. 2009. Toughening of denture base resin with short deformable fibers. *Composites Science and Technology*, 69, 457-462.
10. JANEVA, N. M., KOVACEVSKA, G., ELENCEVSKI, S., PANCHEVSKA, S., MIJOSKA, A. & LAZAREVSKA, B. 2018. Advantages of CAD/CAM versus conventional complete dentures-a review. *Open access Macedonian journal of medical sciences*, 6, 1498.
11. KANIE, T., FUJII, K., ARIKAWA, H. & INOUE, K. 2000. Flexural properties and impact strength of denture base polymer reinforced with woven glass fibers. *Dental Materials*, 16, 150-158.
12. KAWAHATA, N., ONO ,H., NISHI, Y., HAMANO, T. & NAGAOKA, E. 1997. Trial of duplication procedure for complete dentures by CAD/CAM. *Journal of oral rehabilitation*, 24, 540-548.
13. KENNETH J. ANUSAVICE, C. S., . RALPH RAWLS 2012. *Mechanical Properties of Dental Materials* PHILLIPS SCIENCE of DENTAL Materials.
14. NAJI, S. A., BEHROOZIBAKHSH, M., KASHI, T. S. J., ESLAMI, H., MASAELI, R., MAHGOLI, H., TAHRIRI, M., LAHIJI, M. G. & RAKHSHAN, V. 2018. Effects of incorporation of 2.5 and 5

- wt% TiO<sub>2</sub> nanotubes on fracture toughness, flexural strength, and microhardness of denture base poly methyl methacrylate (PMMA). *The journal of advanced prosthodontics*, 10, 113.
15. PACQUET, W., BENOIT, A., HATEGE-KIMANA, C. & WULFMAN, C. 2019. Mechanical properties of CAD/CAM denture base resins. *Int J Prosthodont*, 32, 104-110.
16. PRPIĆ, V., SCHAUPERL, Z., ĆATIĆ, A., DULČIĆ, N. & ĆIMIĆ, S. 2020. Comparison of Mechanical Properties of 3D-Printed, CAD/CAM, and Conventional Denture Base Materials. *Journal of Prosthodontics*, 29, 524-528.
17. WIEDEMAIR, V. & WOLFGANG HUCK, C. 2017. Monitoring water absorption of medically used PMMA using NIR. *NIR news*, 28, 10-13.